

SÍNTESE E CARACTERIZAÇÃO DE COPOLÍMEROS DE CADEIA LATERAL DERIVADOS DE ACRILATOS DE 4,5-DI-HIDROISOXAZOL E DO (-)-MENTOL

Joel A. Passo e Aloir A. Merlo*#

Instituto de Química, Universidade Federal do Rio Grande do Sul, Av. Bento Gonçalves, 9500, 91501-970 Porto Alegre – RS, Brasil

Juliana Eccher e Ivan H. Bechtold

Departamento de Física, Universidade Federal de Santa Catarina, Campus Universitário Trindade, 88040-900 Florianópolis – SC, Brasil

Stephen M. Kelly

Department of Chemistry, University of Hull, U67RX, Hull, UK

Department of Chemistry, University of Hull, U67RX, Hull, UK



Figura 1S. Espectro de RMN ¹H (CDCl₃), 300 MHz do aldeído 2

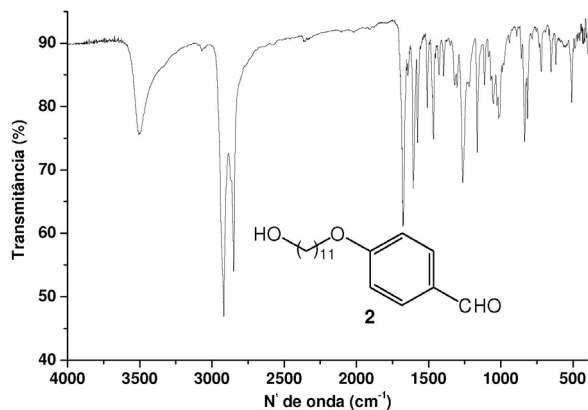


Figura 3S. Espectro de Infravermelho do aldeído 2

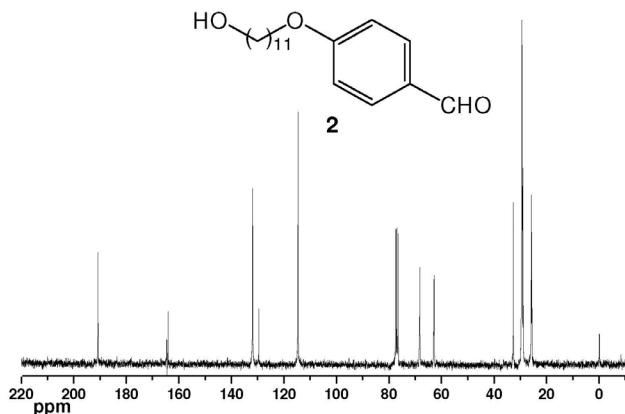


Figura 2S. Espectro de RMN ¹³C (CDCl₃), 75 MHz do aldeído 2

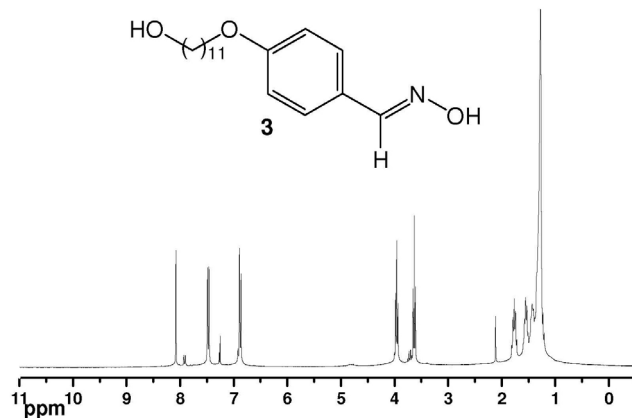


Figura 4S. Espectro de RMN ¹H (CDCl₃), 300 MHz da oxima 3

*e-mail: aloir@iq.ufrgs.br

#Endereço atual: Departamento de Química, Universidade de Hull, Inglaterra, HU67RX

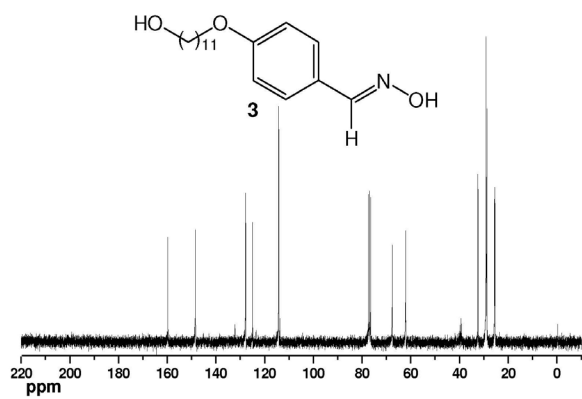


Figura 5S. Espectro de RMN ^{13}C (CDCl_3), 75 MHz da oxima 3

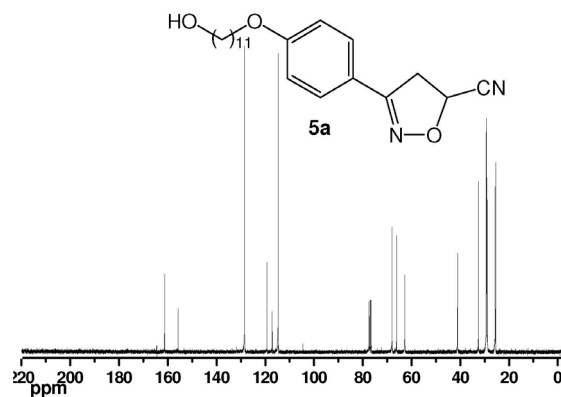


Figura 8S. Espectro de RMN ^{13}C (CDCl_3), 75 MHz da isoxazolina 5a

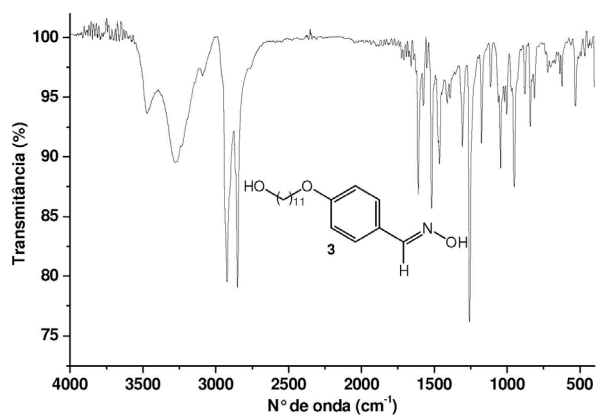


Figura 6S. Espectro de Infravermelho da oxima 3

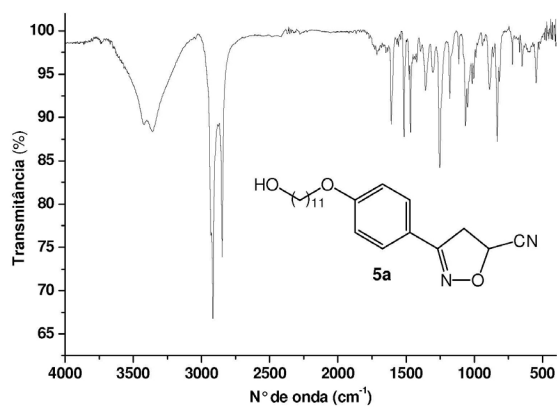


Figura 9S. Espectro de Infravermelho da isoxazolina 5a

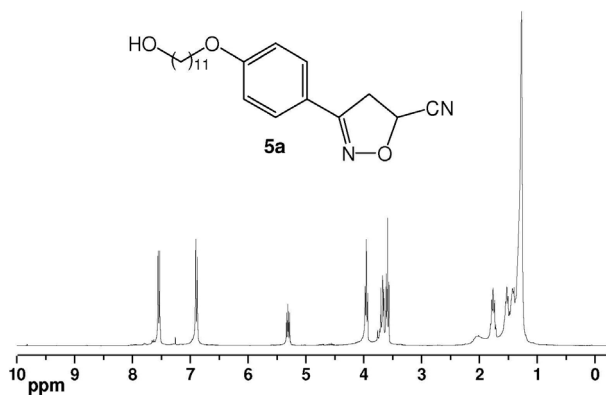


Figura 7S. Espectro de RMN ^1H (CDCl_3), 300 MHz da isoxazolina 5a

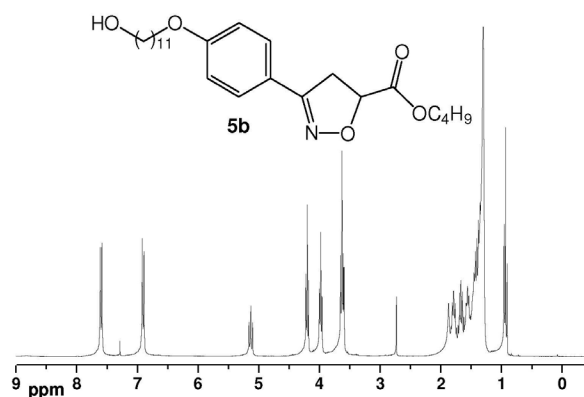


Figura 10S. Espectro de RMN ^1H ($\text{CDCl}_3/\text{DMSO-}d_6$), 300 MHz da isoxazolina 5b

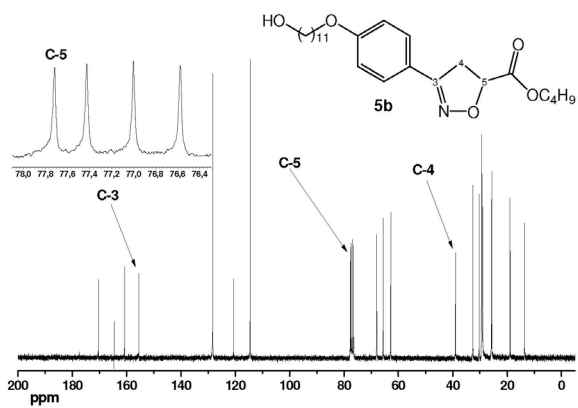


Figura 11S. Espectro de RMN ^{13}C ($\text{CDCl}_3/\text{DMSO}_{d6}$), 75 MHz da isoxazolina 5b

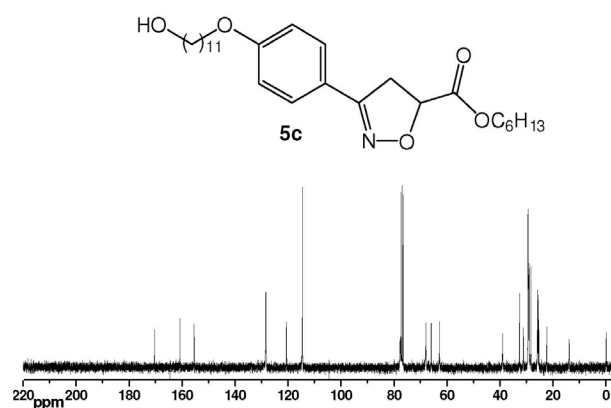


Figura 14S. Espectro de RMN ^{13}C (CDCl_3), 75 MHz da isoxazolina 5c

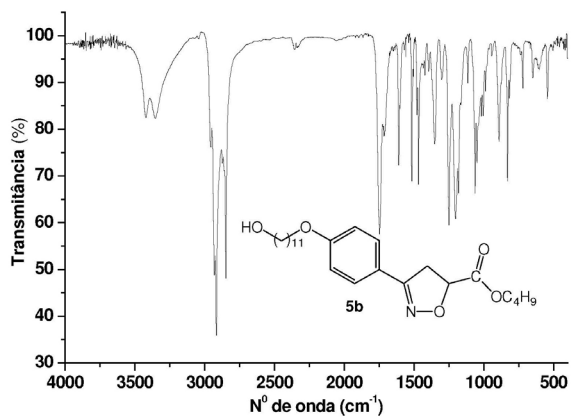


Figura 12S. Espectro de Infravermelho da isoxazolina 5b

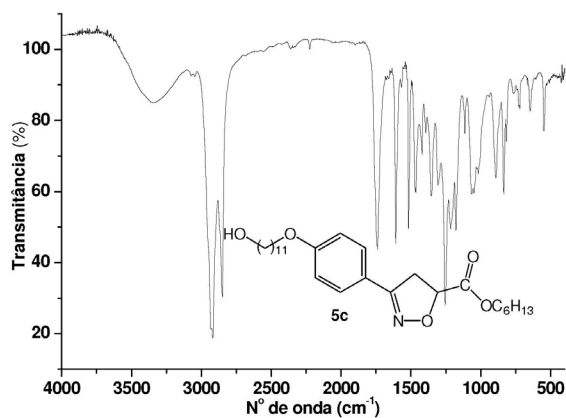


Figura 15S. Espectro de Infravermelho da isoxazolina 5c

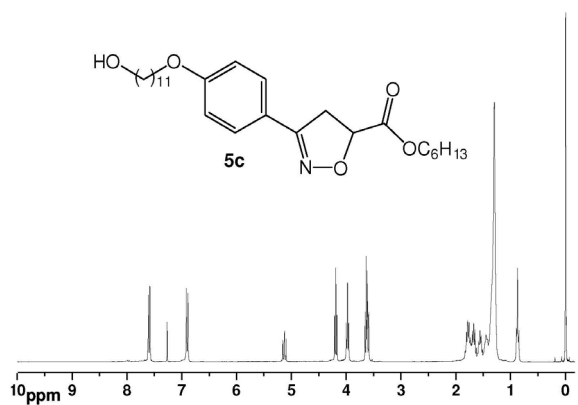


Figura 13S. Espectro de RMN ^1H (CDCl_3), 300 MHz da isoxazolina 5c

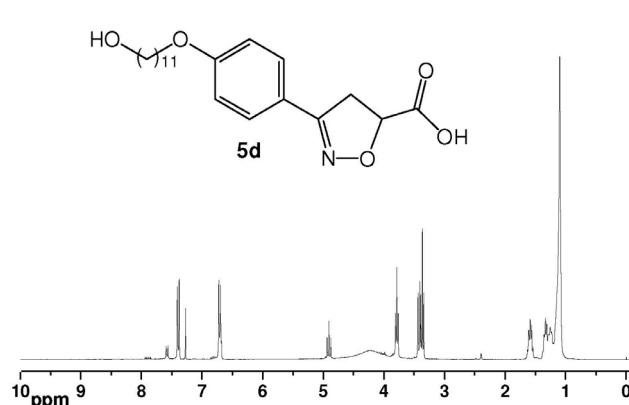


Figura 16S. Espectro de RMN ^1H ($\text{CDCl}_3/\text{DMSO}_{d6}$), 300 MHz da isoxazolina 5d

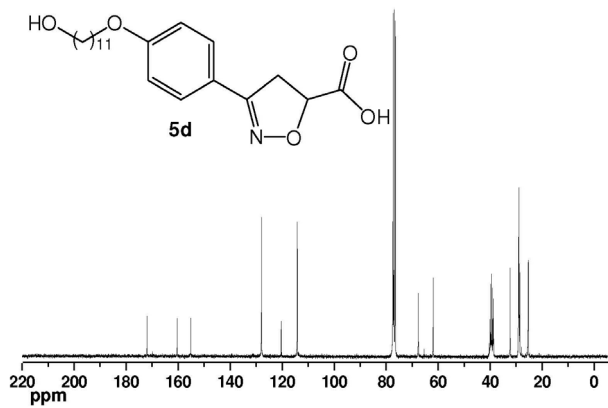


Figura 17S. Espectro de RMN ^{13}C ($\text{CDCl}_3/\text{DMSO-}d_6$), 75 MHz da isoxazolina 5d

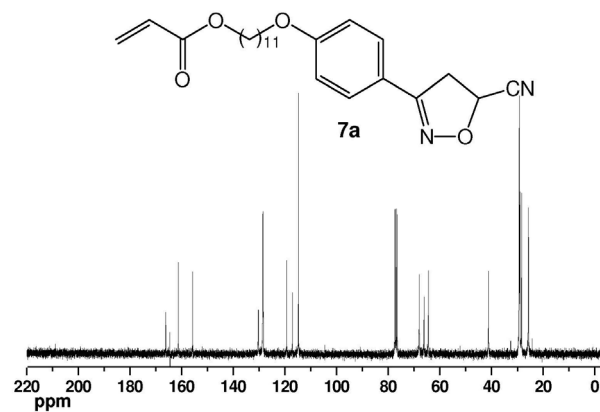


Figura 20S. Espectro de RMN ^{13}C ($\text{CDCl}_3/\text{DMSO-}d_6$), 75 MHz do monômero 7a

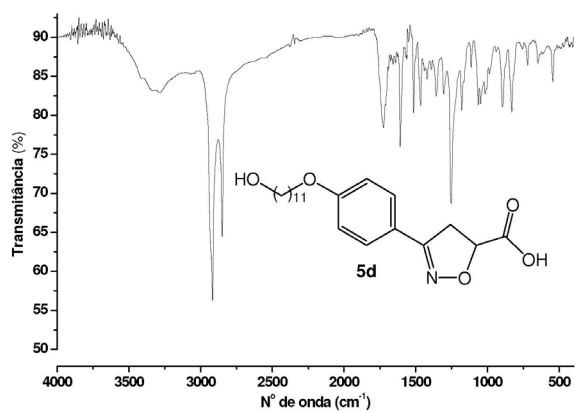


Figura 18S. Espectro de Infravermelho da isoxazolina 5d

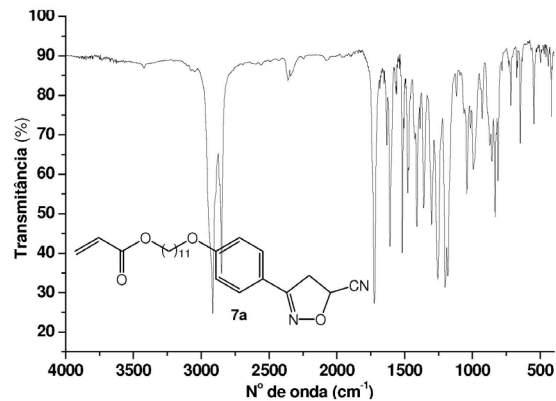


Figura 21S. Espectro de Infravermelho do monômero 7a

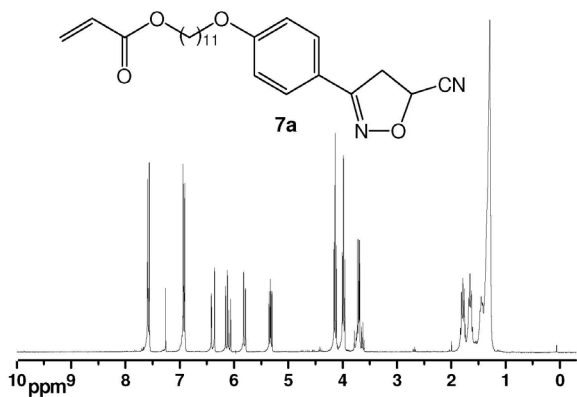


Figura 19S. Espectro de RMN ^1H ($\text{CDCl}_3/\text{DMSO-}d_6$), 300 MHz do monômero 7a

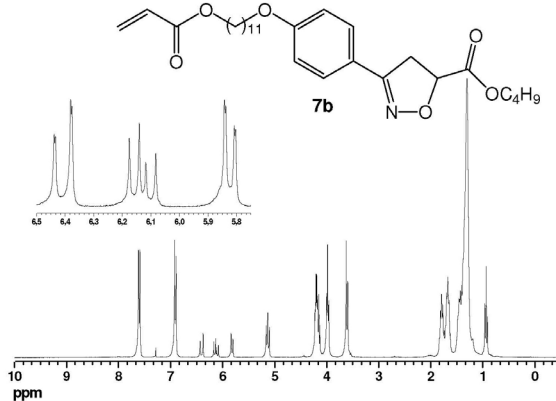


Figura 22S. Espectro de RMN ^1H (CDCl_3), 300 MHz do monômero 7b



Figura 23S. Espectro de RMN ^{13}C (CDCl_3), 75 MHz do monômero 7b

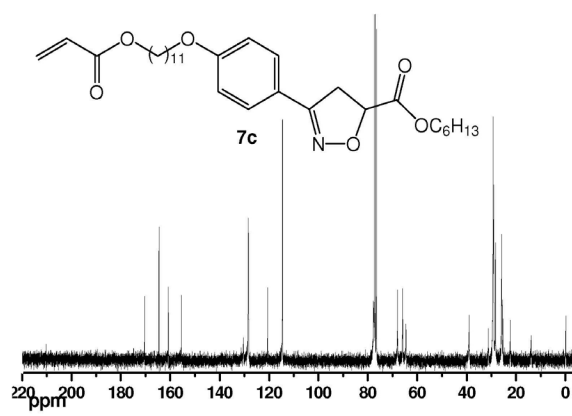


Figura 26S. Espectro de RMN ^{13}C ($\text{CDCl}_3/\text{DMSO-}d_6$), 75 MHz do monômero 7c

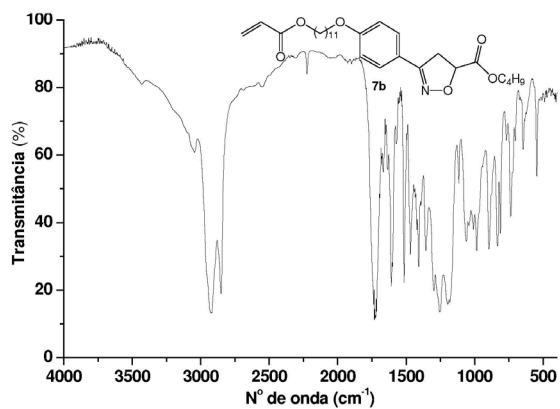


Figura 24S. Espectro de Infravermelho do monômero 7b

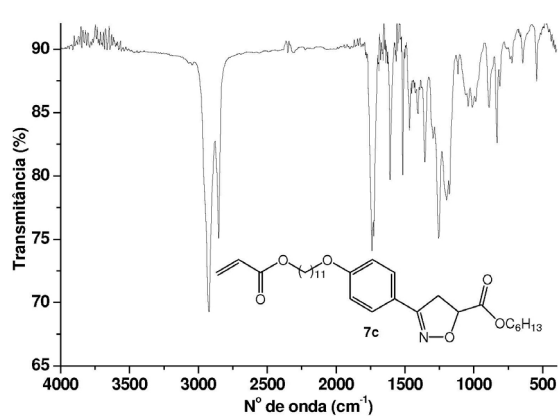


Figura 27S. Espectro de Infravermelho do monômero 7c

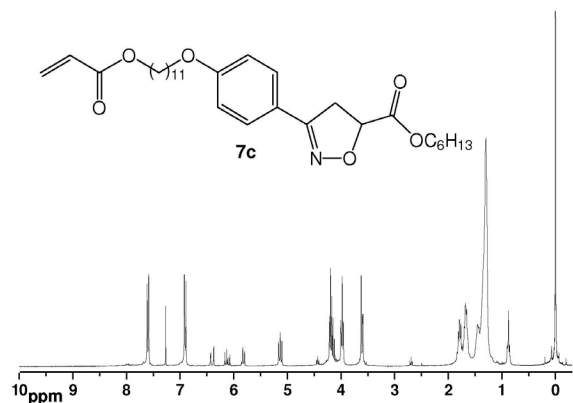


Figura 25S. Espectro de RMN ^1H ($\text{CDCl}_3/\text{DMSO-}d_6$), 300 MHz do monômero 7c

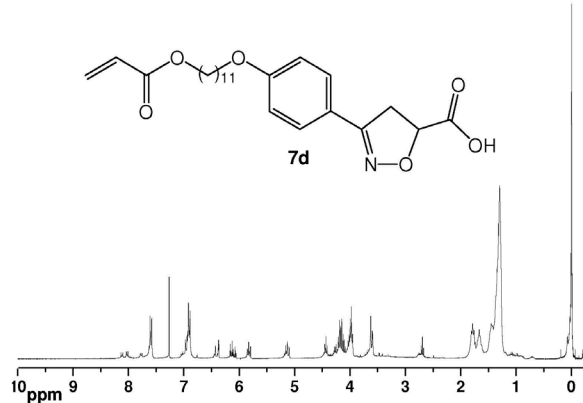


Figura 28S. Espectro de RMN ^1H ($\text{CDCl}_3/\text{DMSO-}d_6$), 300 MHz do monômero 7d

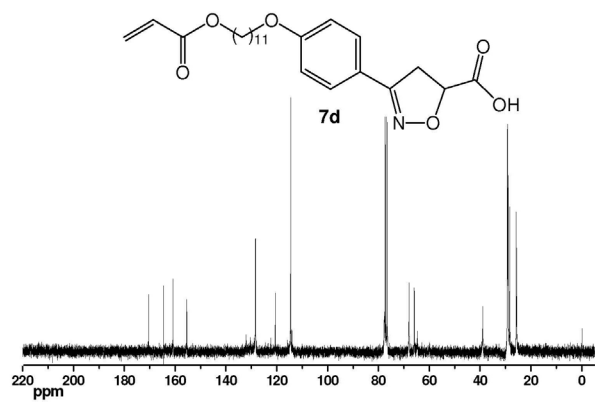


Figura 29S. Espectro de RMN ^{13}C ($\text{CDCl}_3/\text{DMSO-}d_6$), 75 MHz do monômero 7d

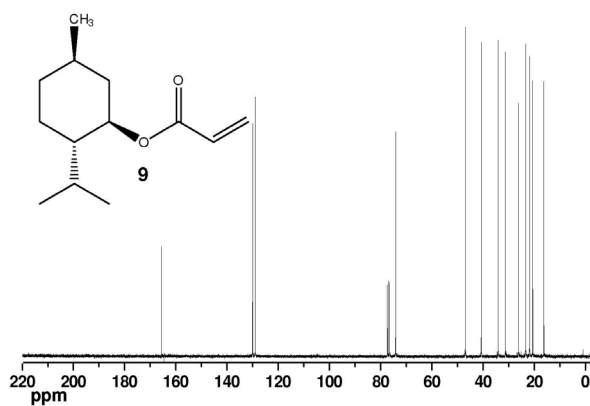


Figura 32S. Espectro de RMN ^{13}C (CDCl_3), 75 MHz do monômero 9

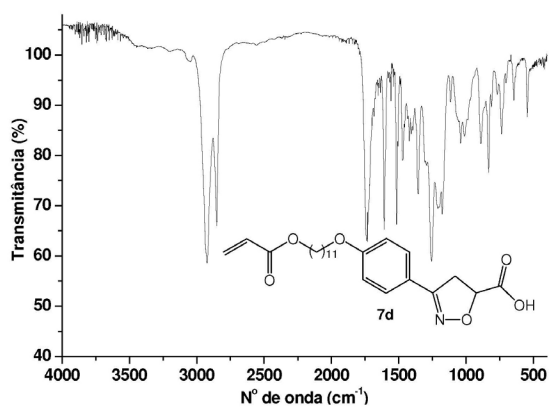


Figura 30S. Espectro de Infravermelho do monômero 7d

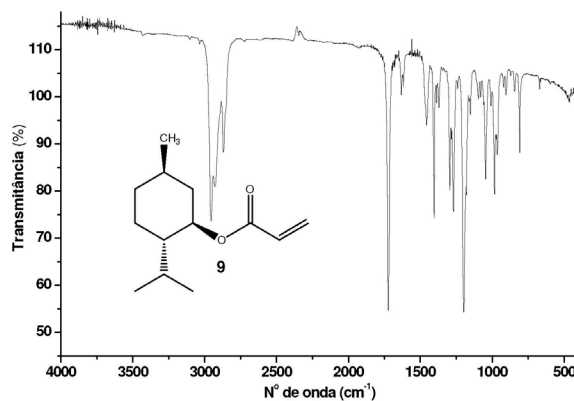


Figura 33S. Espectro de Infravermelho do monômero 9

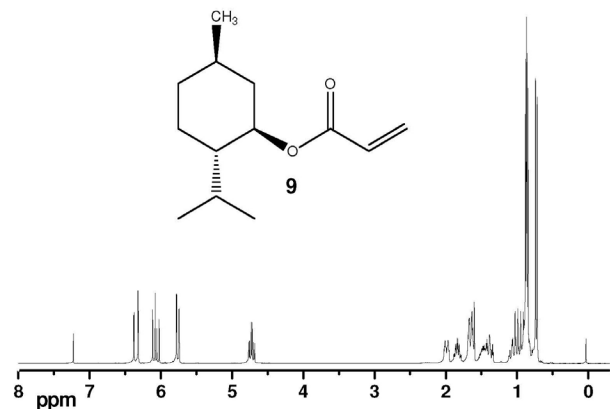


Figura 31S. Espectro de RMN ^1H (CDCl_3), 300 MHz do monômero 9

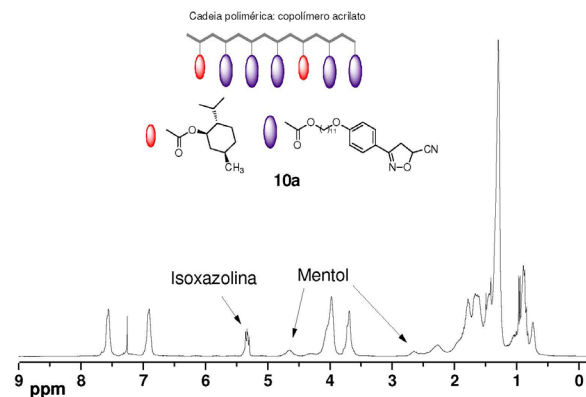


Figura 34S. Espectro de RMN ^1H (CDCl_3), 300 MHz do copolímero 10a

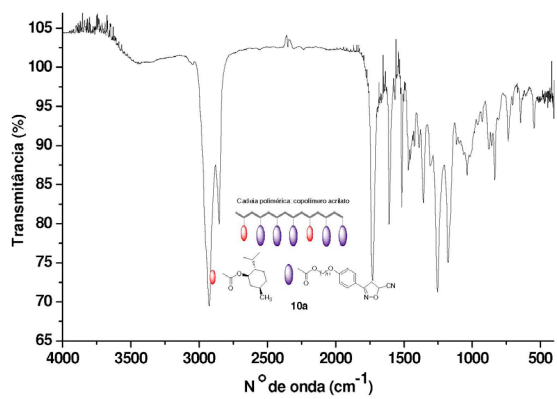


Figura 35S. Espectro de Infravermelho do copolímero 10a

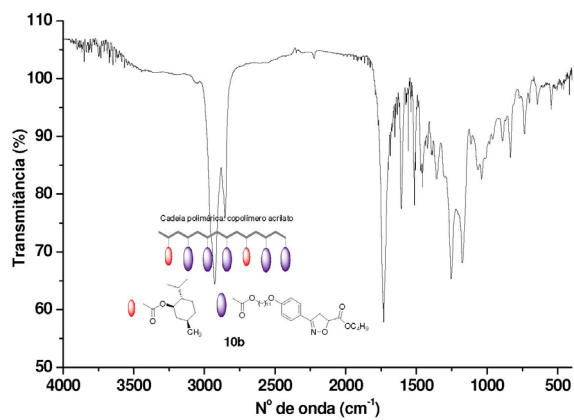


Figura 38S. Espectro de Infravermelho do copolímero 10b

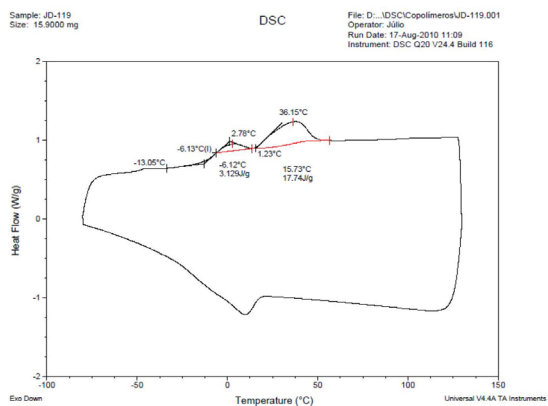


Figura 36S. Termograma de DSC do copolímero 10a – 2° ciclo (20 °C/min)

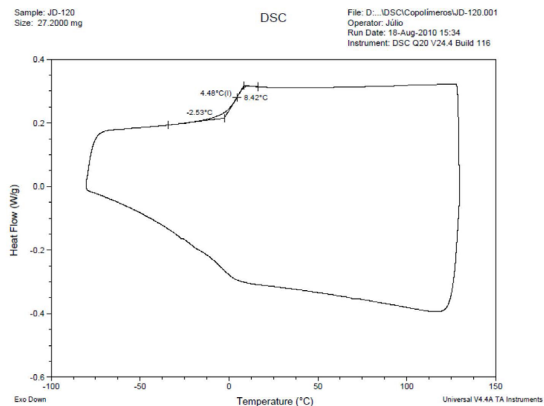
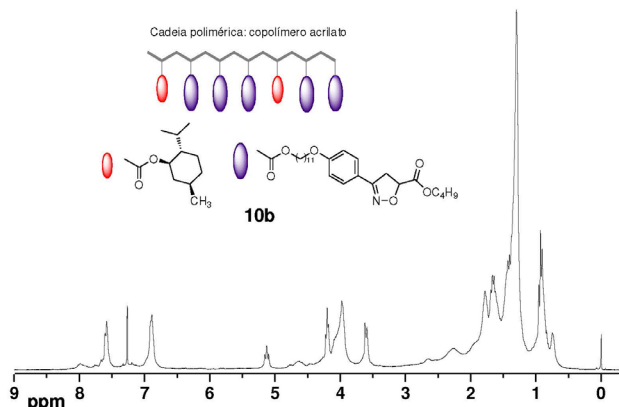
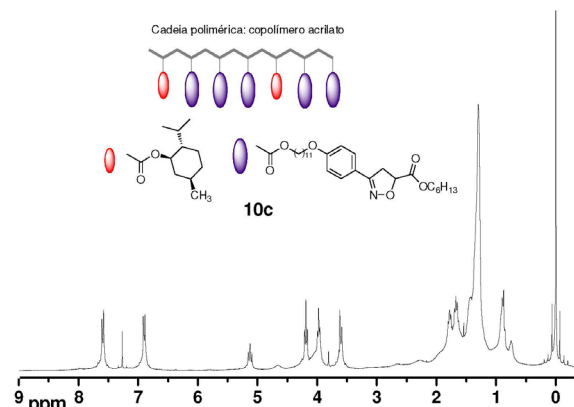


Figura 39S. Termograma de DSC do copolímero 10b – 2° ciclo (20 °C/min)

Figura 37S. Espectro de RMN ¹H (CDCl₃), 300 MHz do copolímero 10bFigura 40S. Espectro de RMN ¹H (CDCl₃), 300 MHz do copolímero 10c

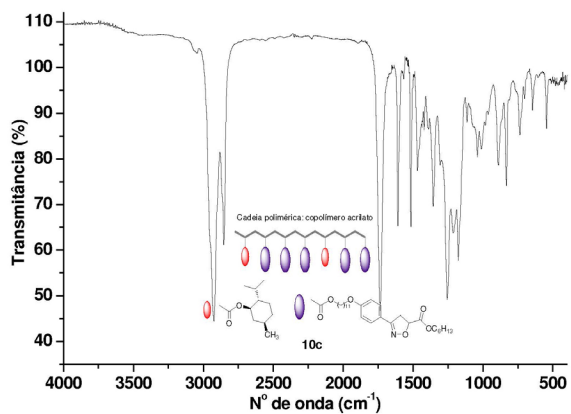


Figura 41S. Espectro de Infravermelho do copolímero 10c

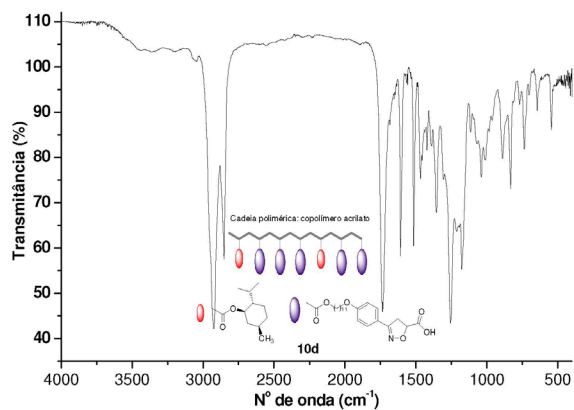


Figura 44S. Espectro de Infravermelho do copolímero 10d

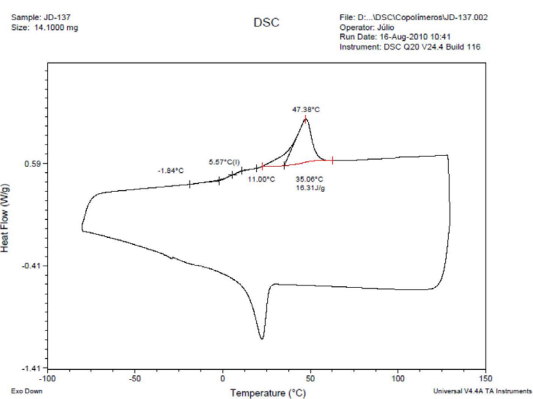


Figura 42S. Termograma de DSC do copolímero 10c – 2° ciclo (20 °C/min)

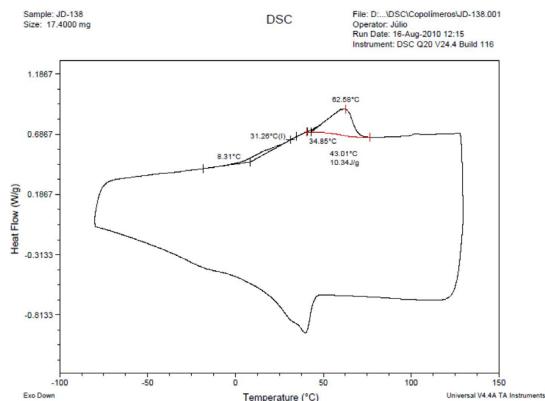


Figura 45S. Termograma de DSC do copolímero 10d – 2° ciclo (20 °C/min)

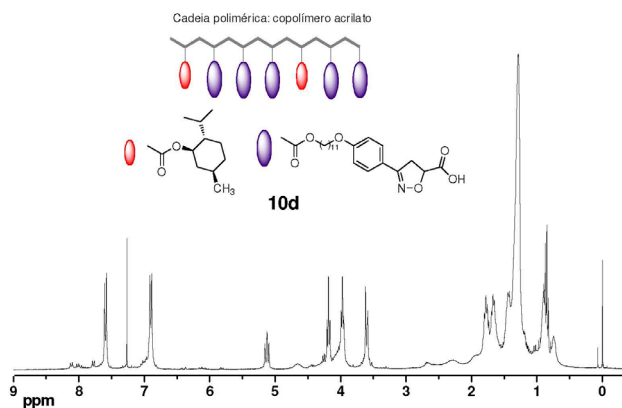


Figura 43S. Espectro de RMN ¹H (CDCl₃), 300 MHz do copolímero 10d

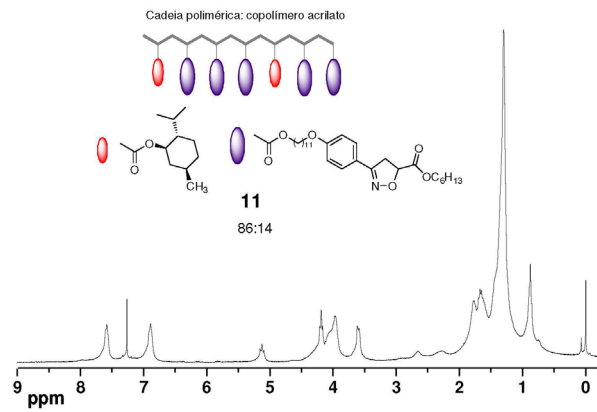


Figura 46S. Espectro de RMN ¹H (CDCl₃), 300 MHz do copolímero 11

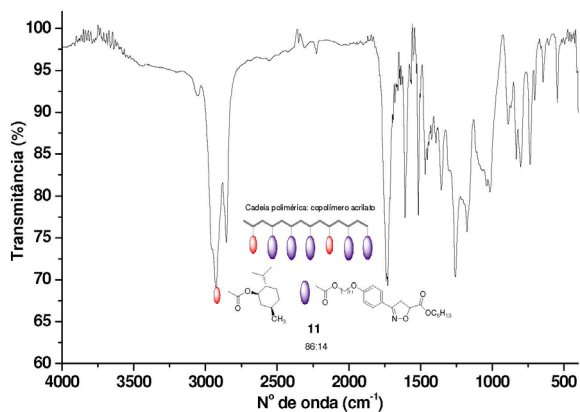


Figura 47S. Espectro de Infravermelho do copolímero 11

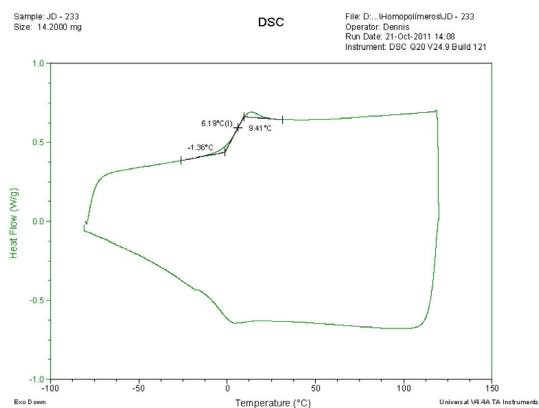


Figura 50S. Termograma de DSC do copolímero 12 – 2º ciclo (20 °C/min)

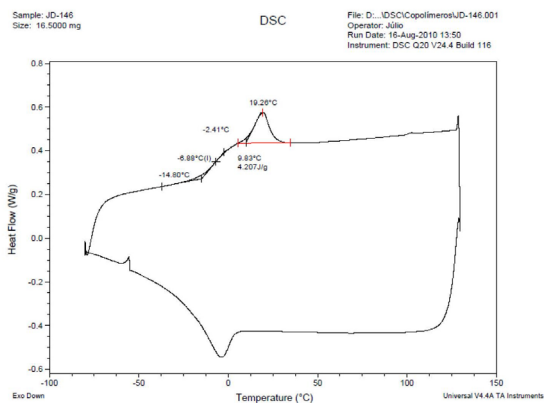


Figura 48S. Termograma de DSC do copolímero 11 – 2º ciclo (20 °C/min)

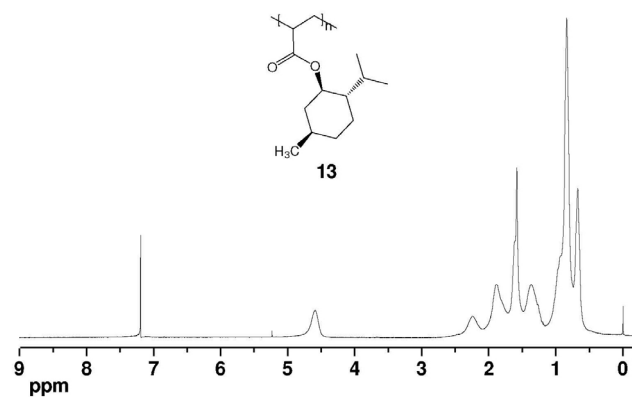
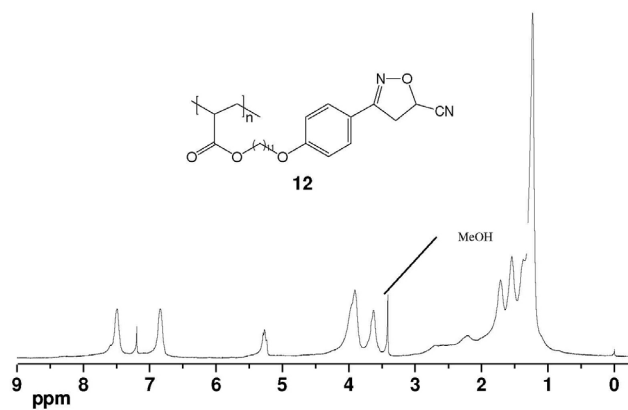
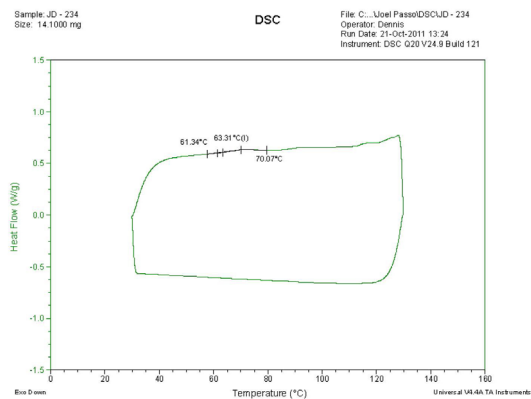
Figura 51S. Espectro de RMN ¹H (CDCl₃), 300 MHz do homopolímero 13Figura 49S. Espectro de RMN ¹H (CDCl₃), 300 MHz do homopolímero 12

Figura 52S. Termograma de DSC do homolímero 13 – 1º ciclo (20 °C/min)